

本資料のうち、枠囲みの内容は、  
営業秘密又は防護上の観点から  
公開できません。

東海第二発電所 工事計画審査資料	
資料番号	工認-140 改2
提出年月日	平成30年6月19日

V-2-10-2-10 堰の耐震性についての計算書

## 目次

1. 概要.....	1
2. 基本方針.....	1
2.1 位置.....	1
2.2 構造概要.....	17
2.3 評価方針.....	19
2.4 適用規格.....	20
3. 地震応答解析.....	21
3.1 基本方針.....	21
3.2 固有振動数の計算方法.....	22
4. 耐震評価方法.....	24
4.1 評価対象部位.....	24
4.2 荷重及び荷重の組合せ.....	30
4.3 材料の諸元.....	31
4.4 許容限界.....	32
4.5 評価方法等.....	34
4.6 評価条件.....	44
5. 評価結果.....	47

## 1. 概要

本資料は、V-1-1-8-5「溢水防護施設の詳細設定」に示すとおり、溢水拡大防止堰、管理区域外伝播防止堰及び止水板（以下「堰」という。）が、建物・構築物として、基準地震動 $S_s$ に対して、溢水伝播を防止する機能を維持するために、十分な構造強度を有することを説明するものである。その耐震評価は、応力評価により行う。

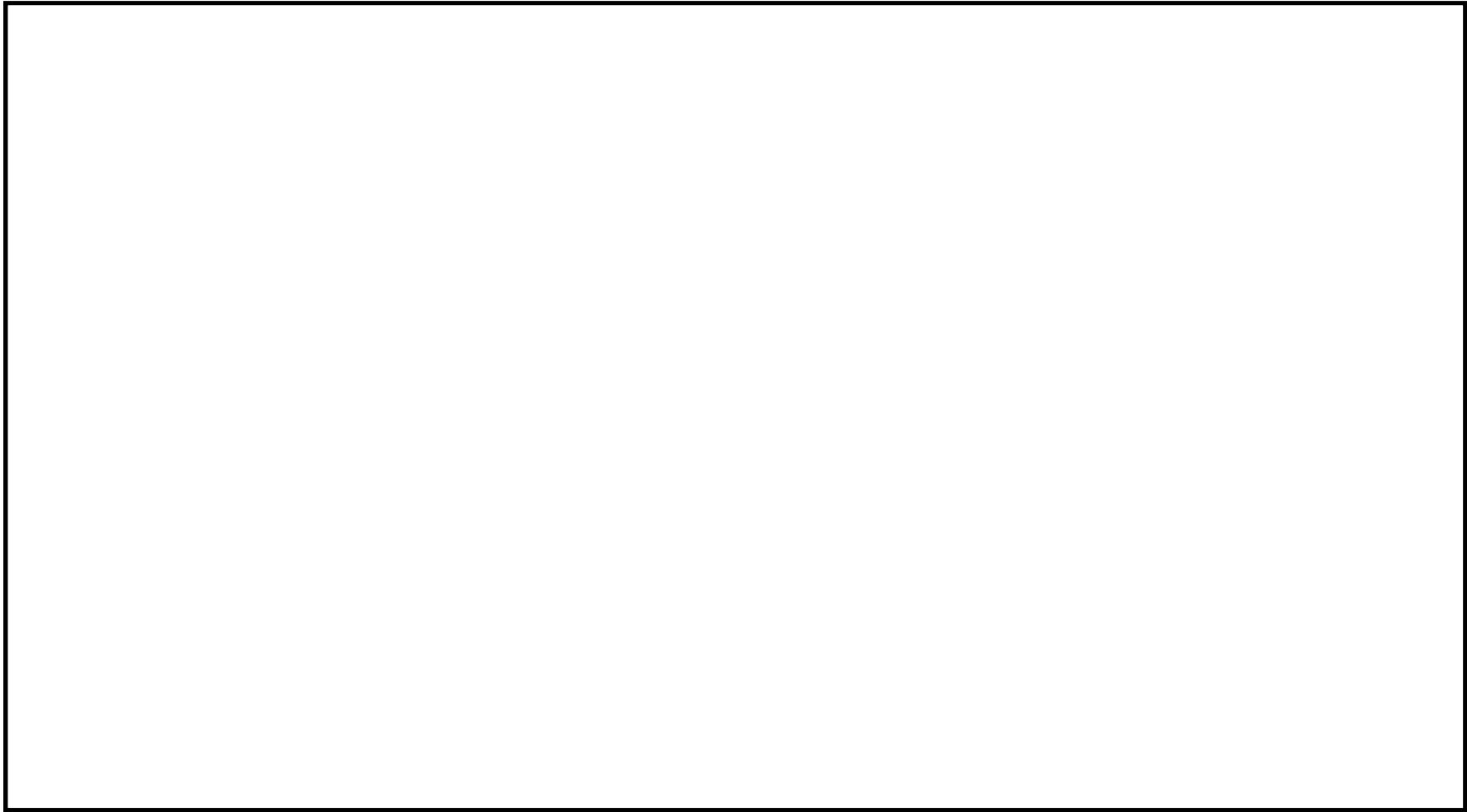
堰の耐震クラスは、V-2-1-4「重要度分類及び重大事故等対処施設の施設区分の基本方針」より、Cクラスである。

## 2. 基本方針

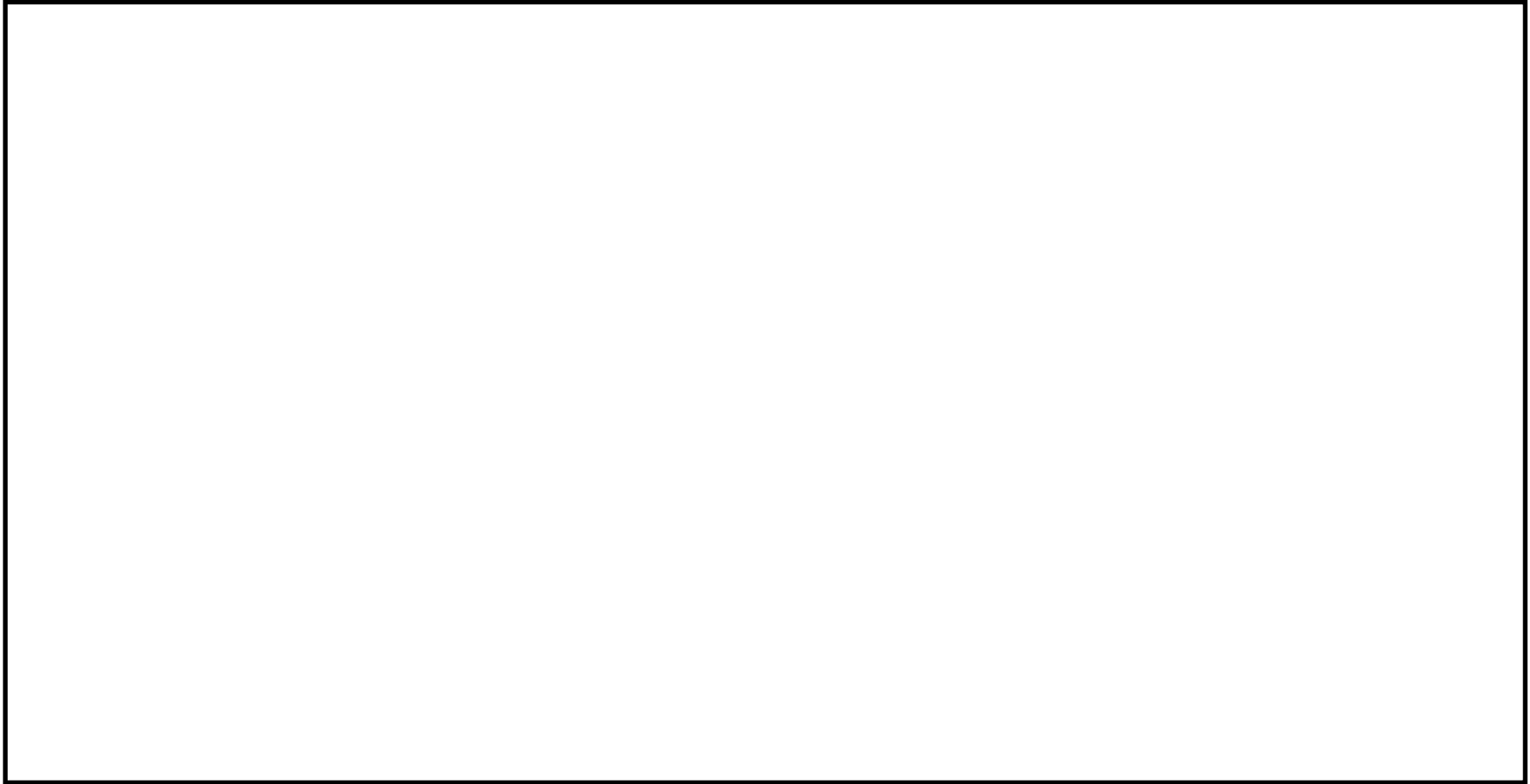
### 2.1 位置

溢水拡大防止堰及び管理区域外伝播防止堰は、V-1-1-8-5「溢水防護施設の詳細設計」の「4.1 溢水伝播を防止する設備」に示す配置のとおり、原子炉建屋原子炉棟 EL. 46.50 m, 同 38.80 m, 同 29.00 m, 同 20.30 m, 同 14.00 m, 同 8.20 m, 同 2.00 m, 原子炉建屋附属棟 EL. 23.00 m, タービン建屋 EL. 8.20m に設置し、止水板は、原子炉建屋原子炉棟 EL. 46.50 m, 同 38.80 m, 同 29.00 m, 同 20.30 m, 同 14.00 m, 同 2.00 m, 同-4.00 m に設置する。

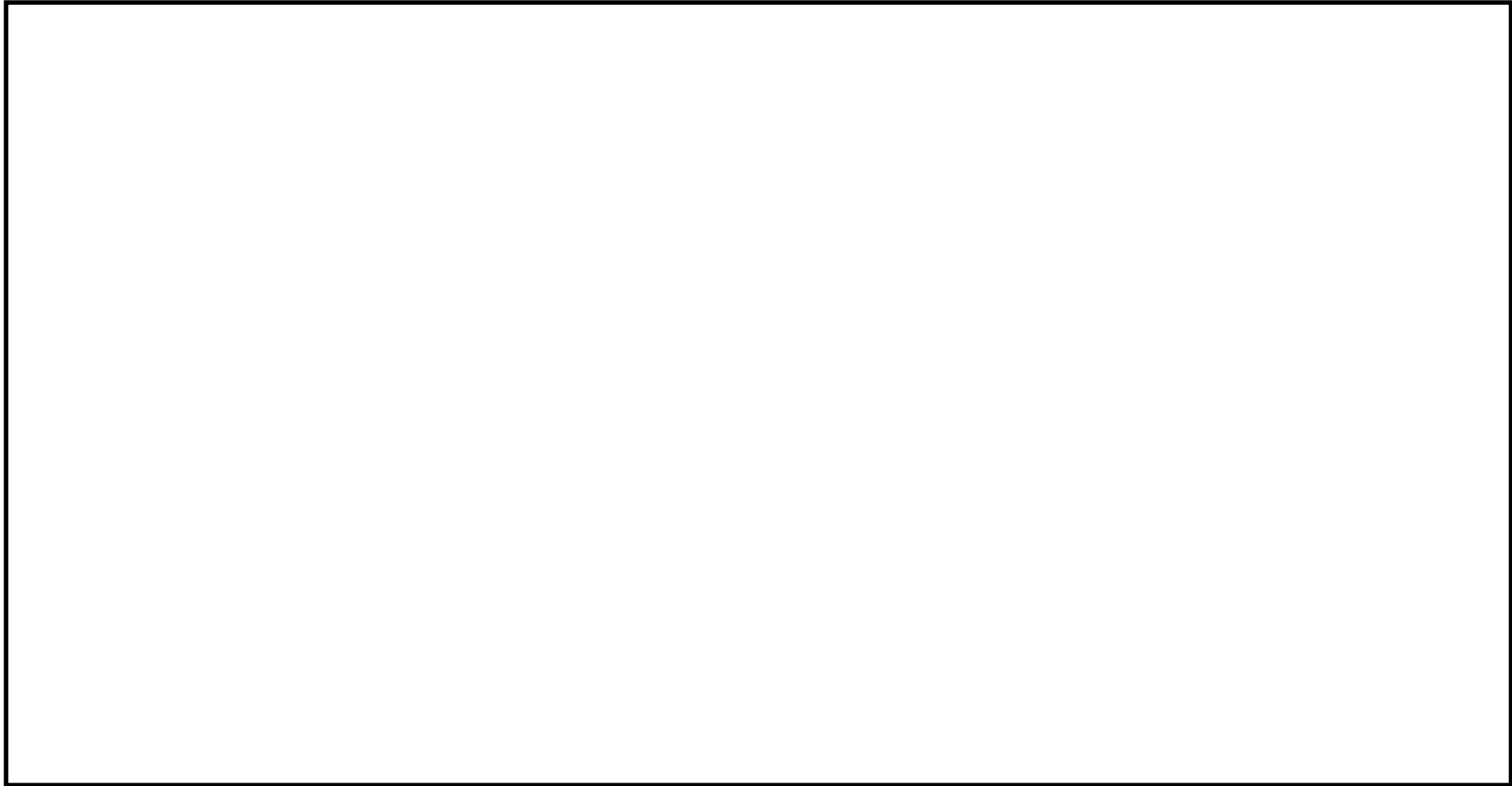
溢水拡大防止堰及び管理区域外伝播防止堰の設置位置を第 2-1 図～第 2-8 図、止水板の設置位置を第 2-9 図～第 2-15 図に示す。



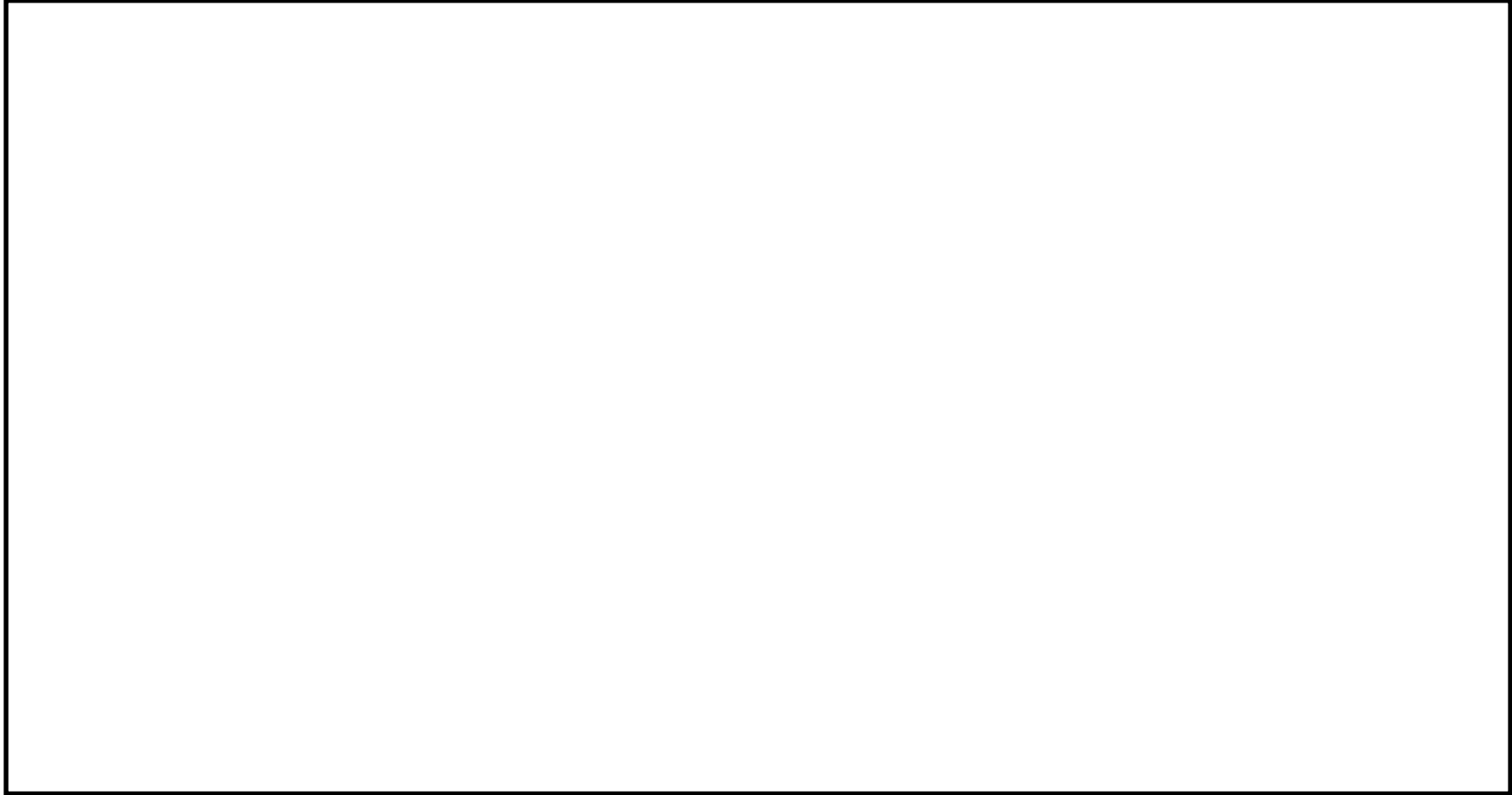
第 2-1 図 溢水拡大防止堰及び管理区域外伝播防止堰の設置位置図 (EL. -2.00 m)



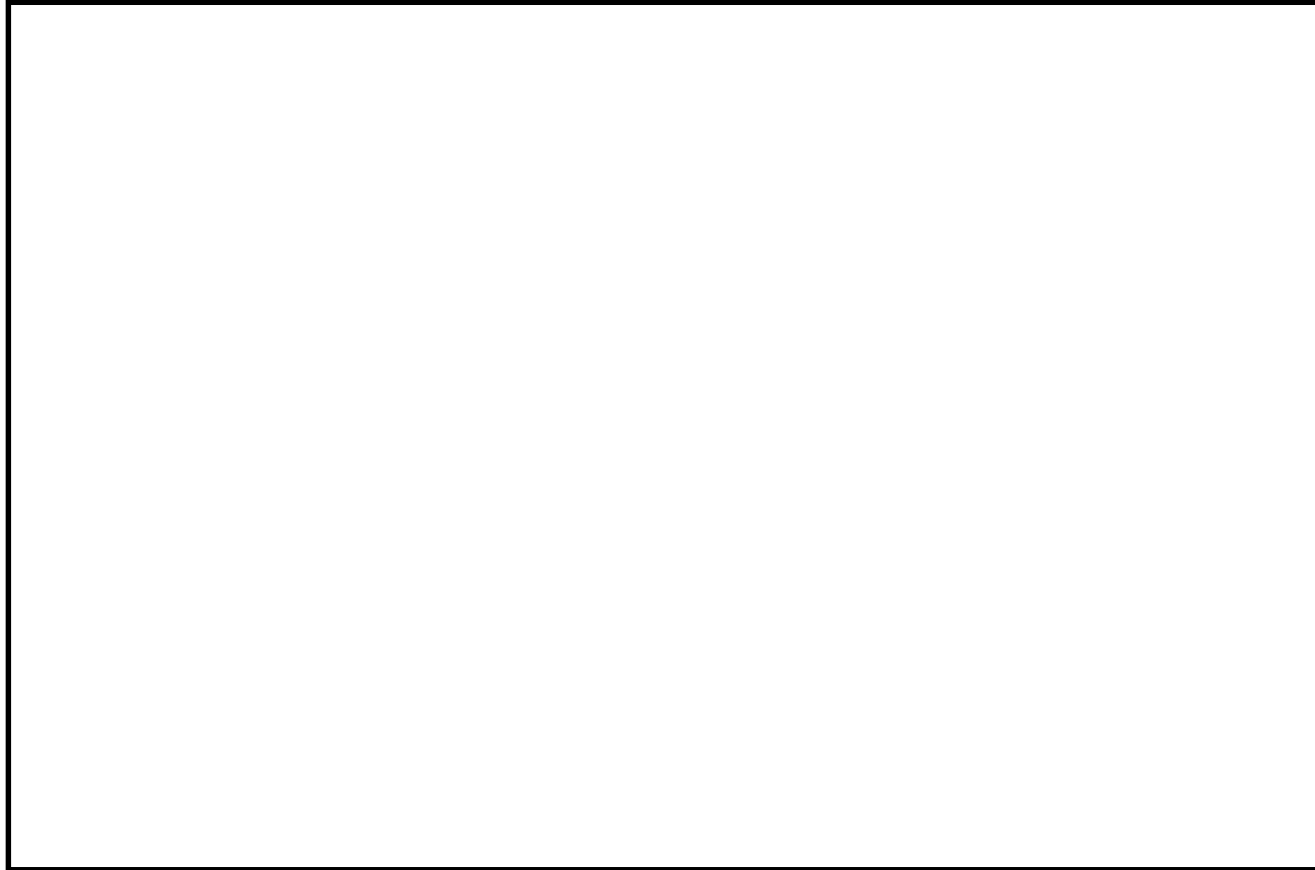
第 2-2 図 溢水拡大防止堰及び管理区域外伝播防止堰の設置位置図 (EL. 8.20 m)



第 2-3 図 溢水拡大防止堰及び管理区域外伝播防止堰の設置位置図 (EL. 14.00 m)



第 2-4 図 溢水拡大防止堰及び管理区域外伝播防止堰の設置位置図 (EL. 20.30 m)

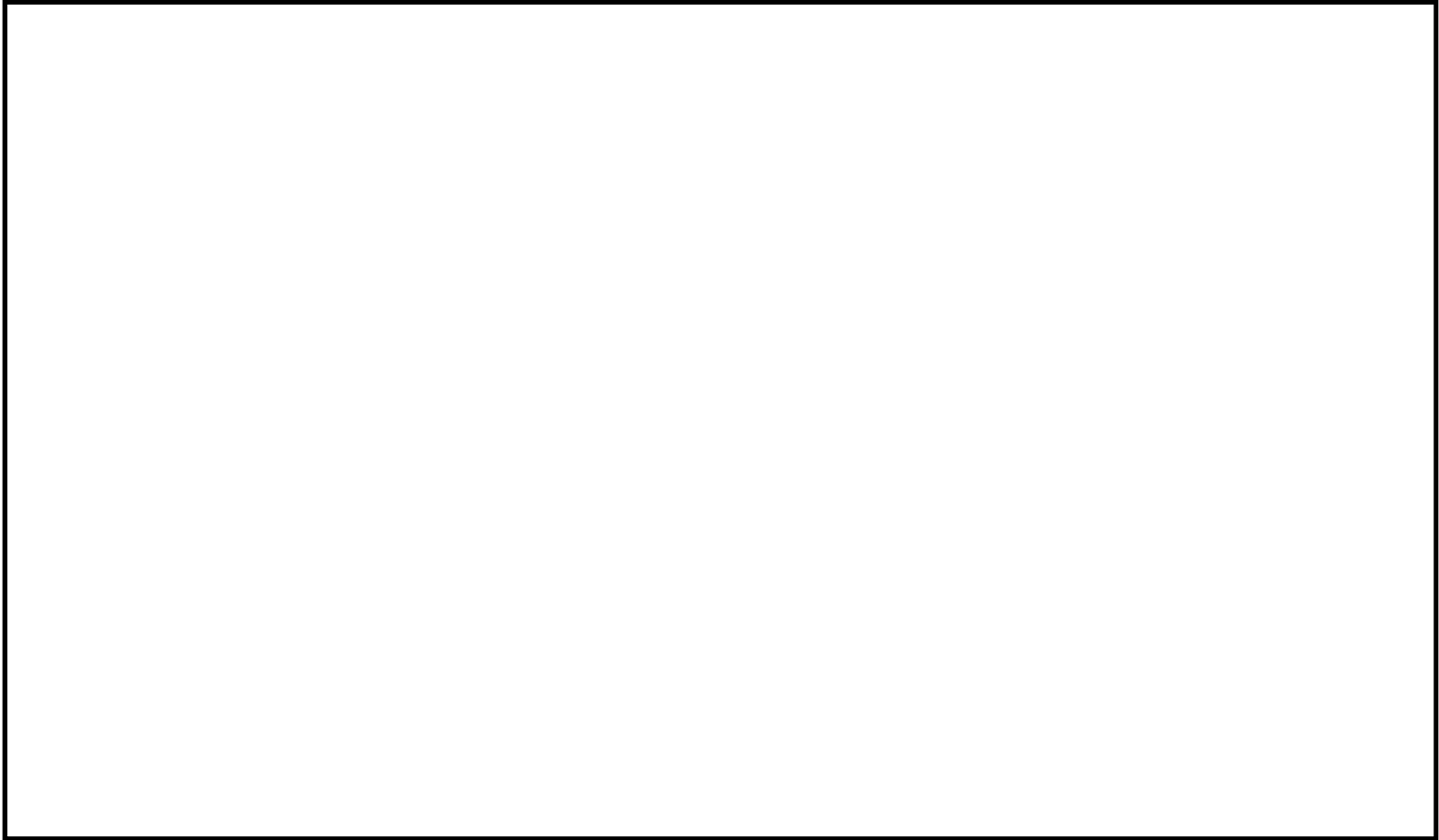


第 2-5 図 溢水拡大防止堰及び管理区域外伝播防止堰の設置位置図 (EL. 29.00 m)

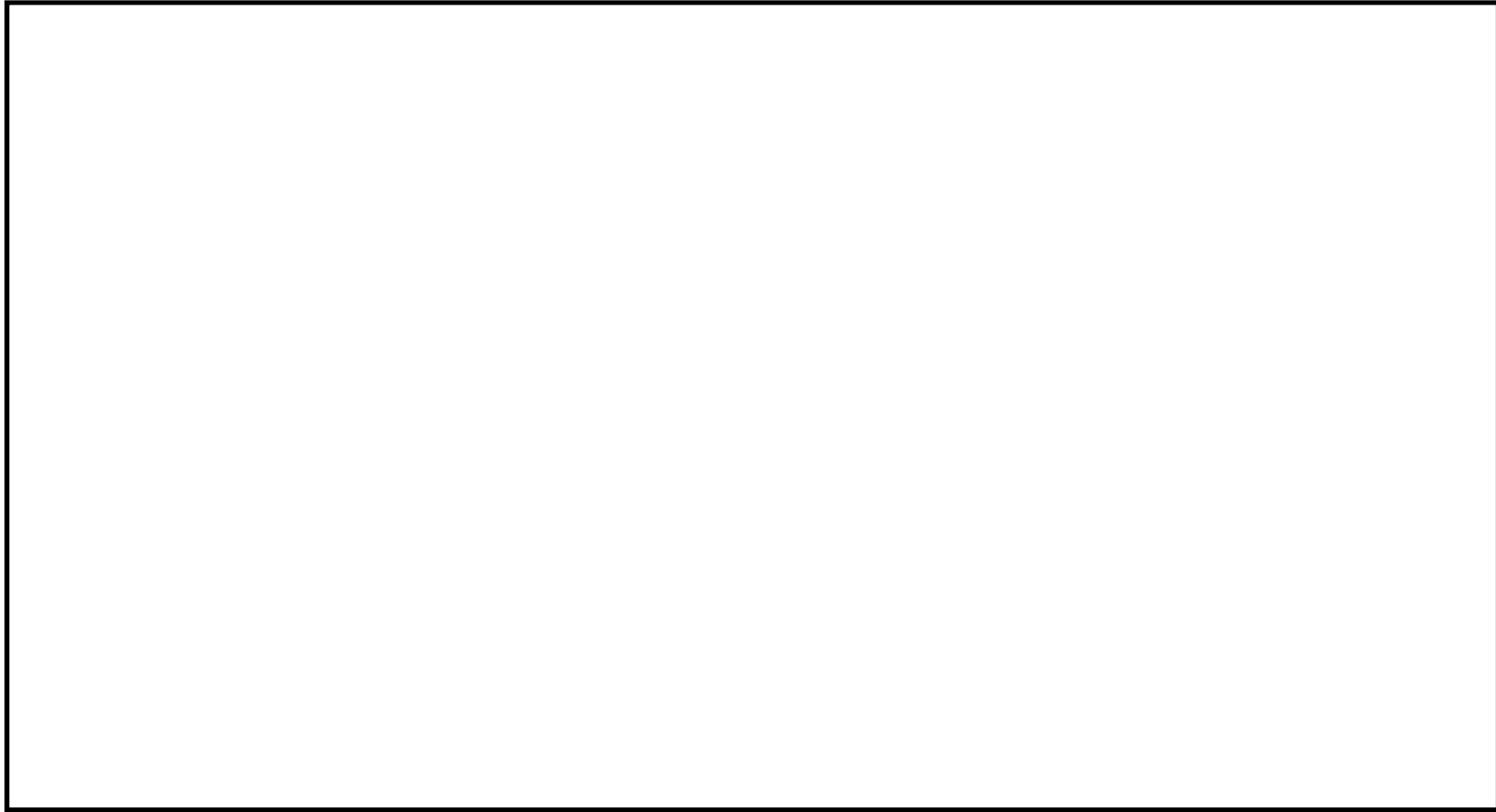




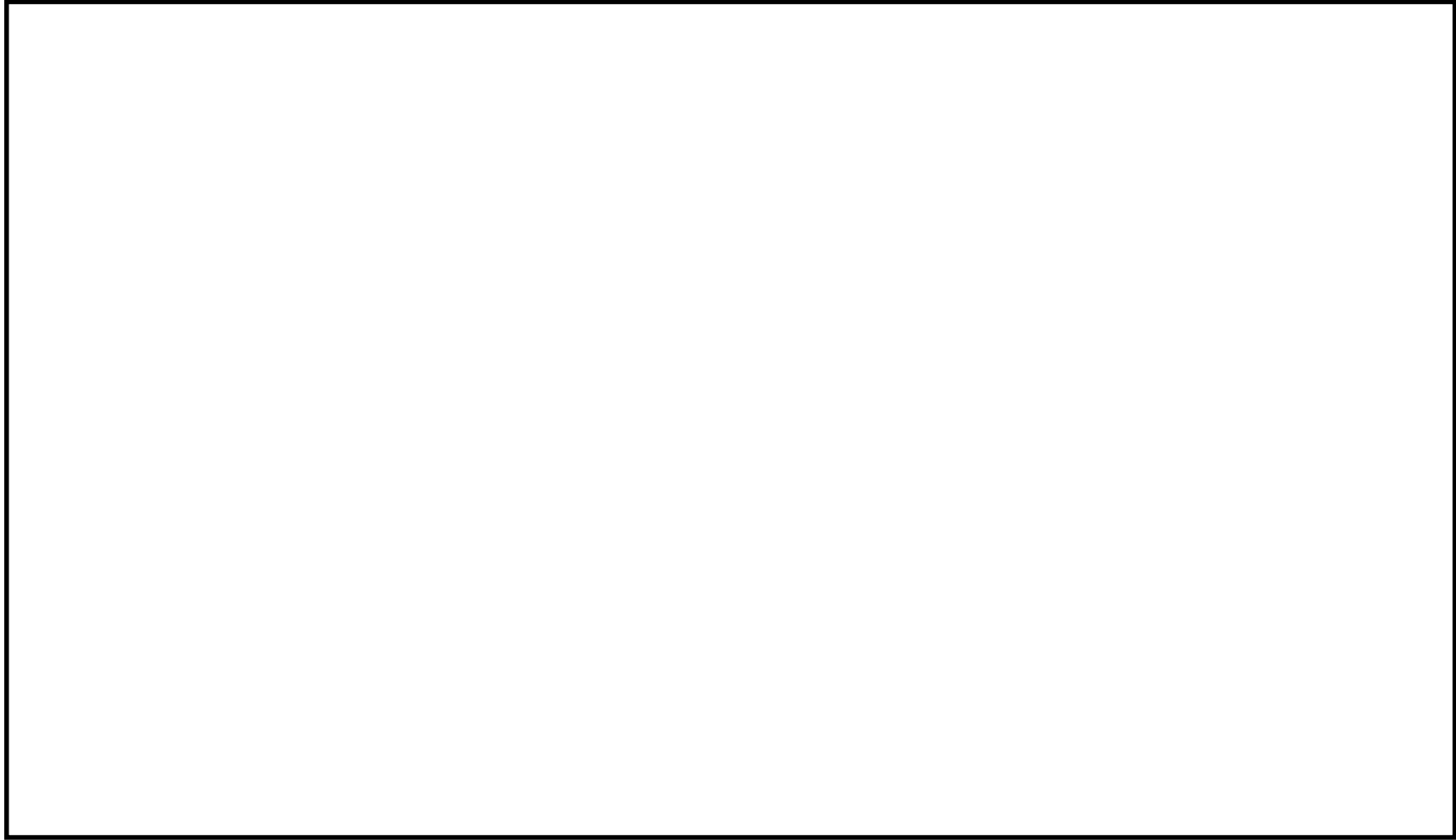
第 2-6 図 溢水拡大防止堰及び管理区域外伝播防止堰の設置位置図 (EL. 38.80 m)



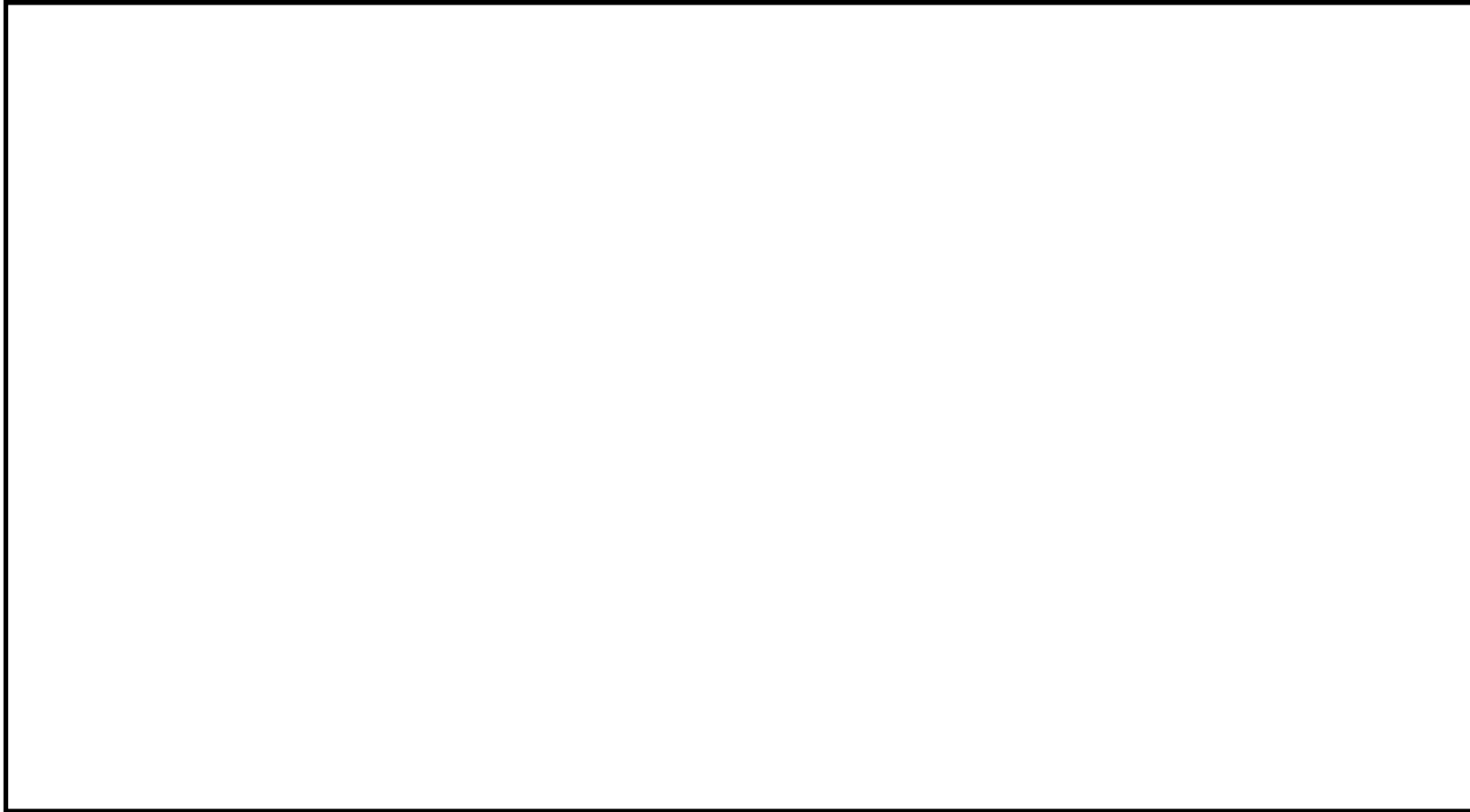
第2-7図 溢水拡大防止堰及び管理区域外伝播防止堰の設置位置図 (EL. 46.5 m)



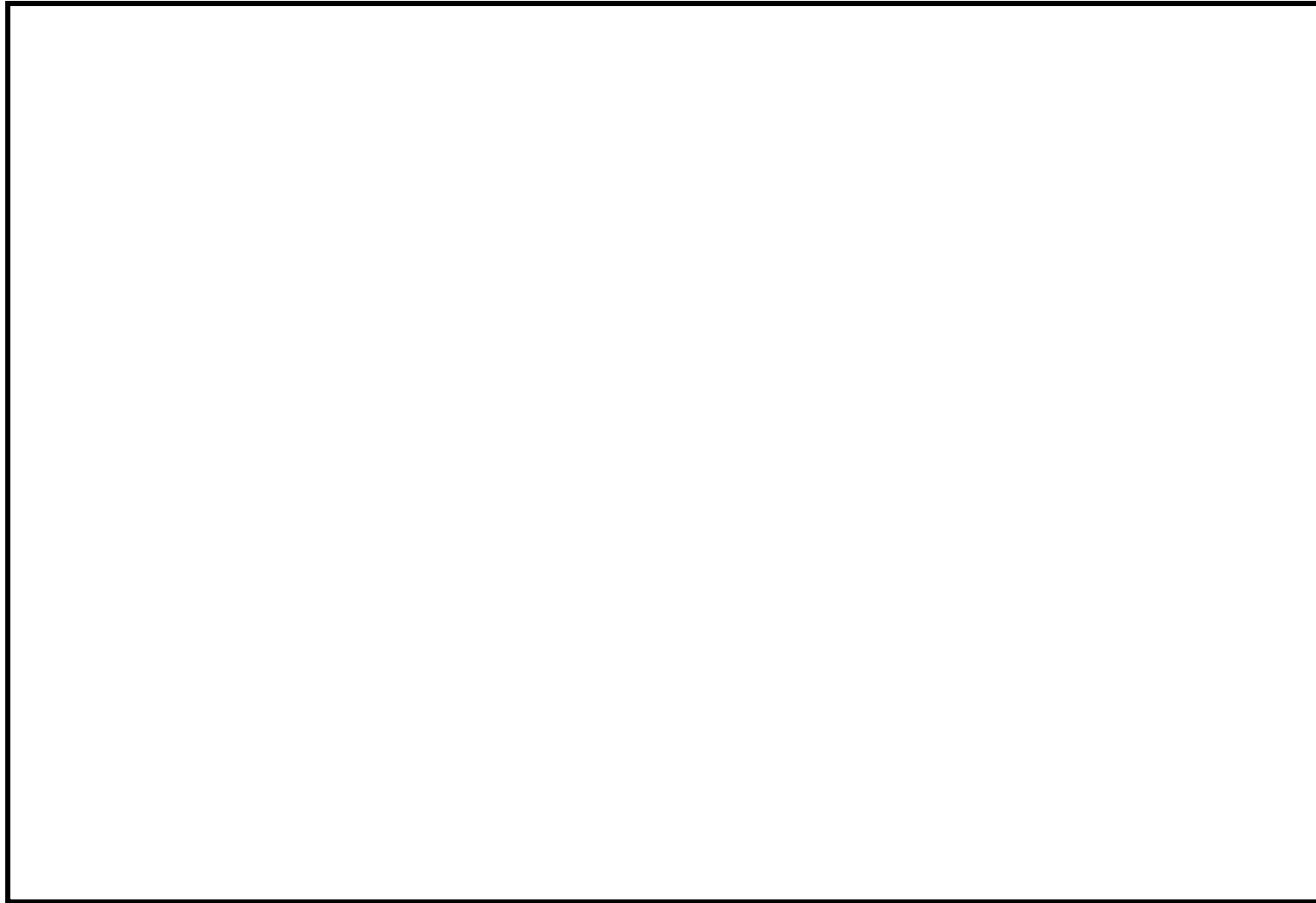
第 2-8 図 溢水拡大防止堰及び管理区域外伝播防止堰の設置位置図 (タービン建屋 EL. 8.20 m)



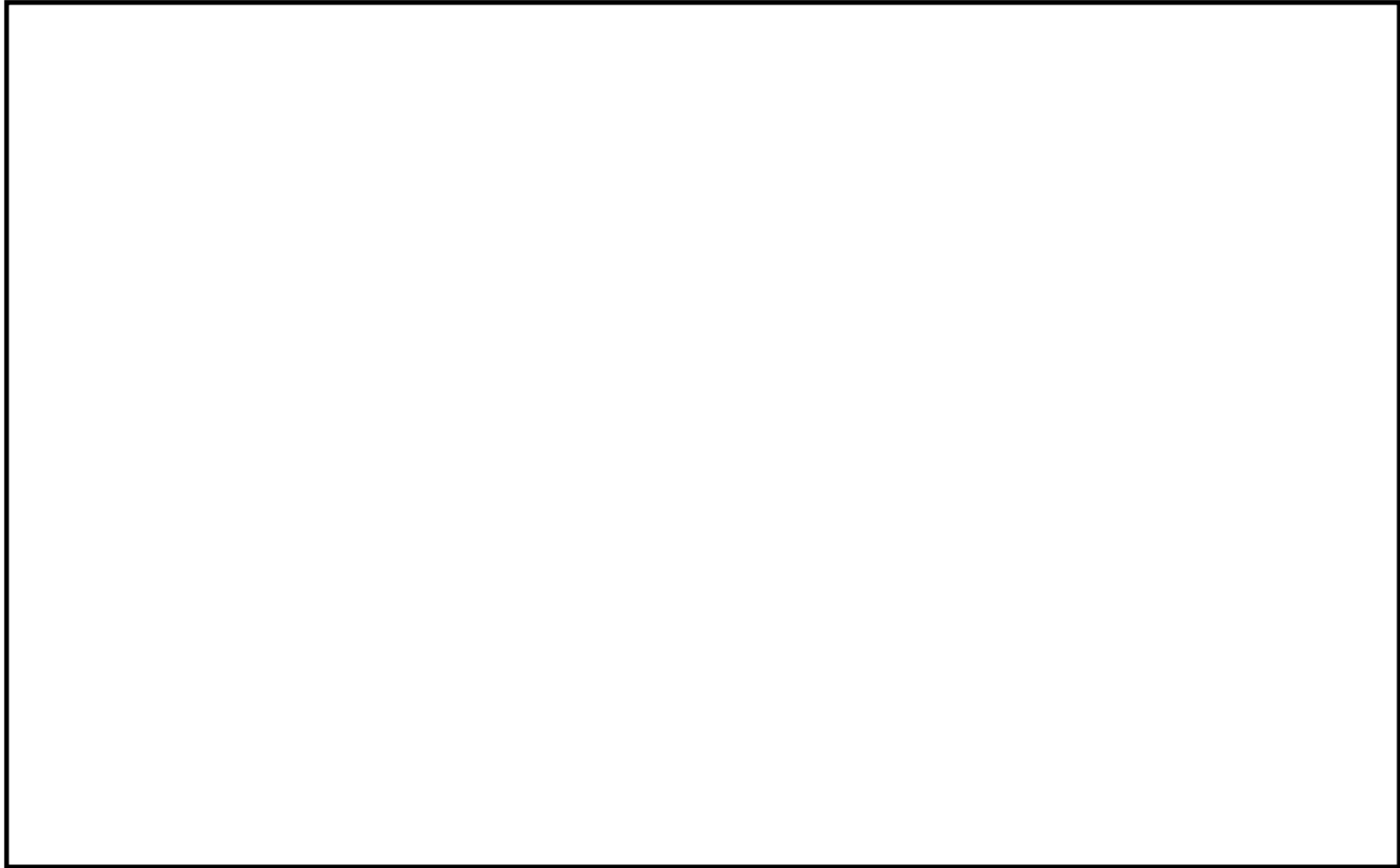
第 2-9 図 止水板の設置位置図 (EL. -4.00 m)



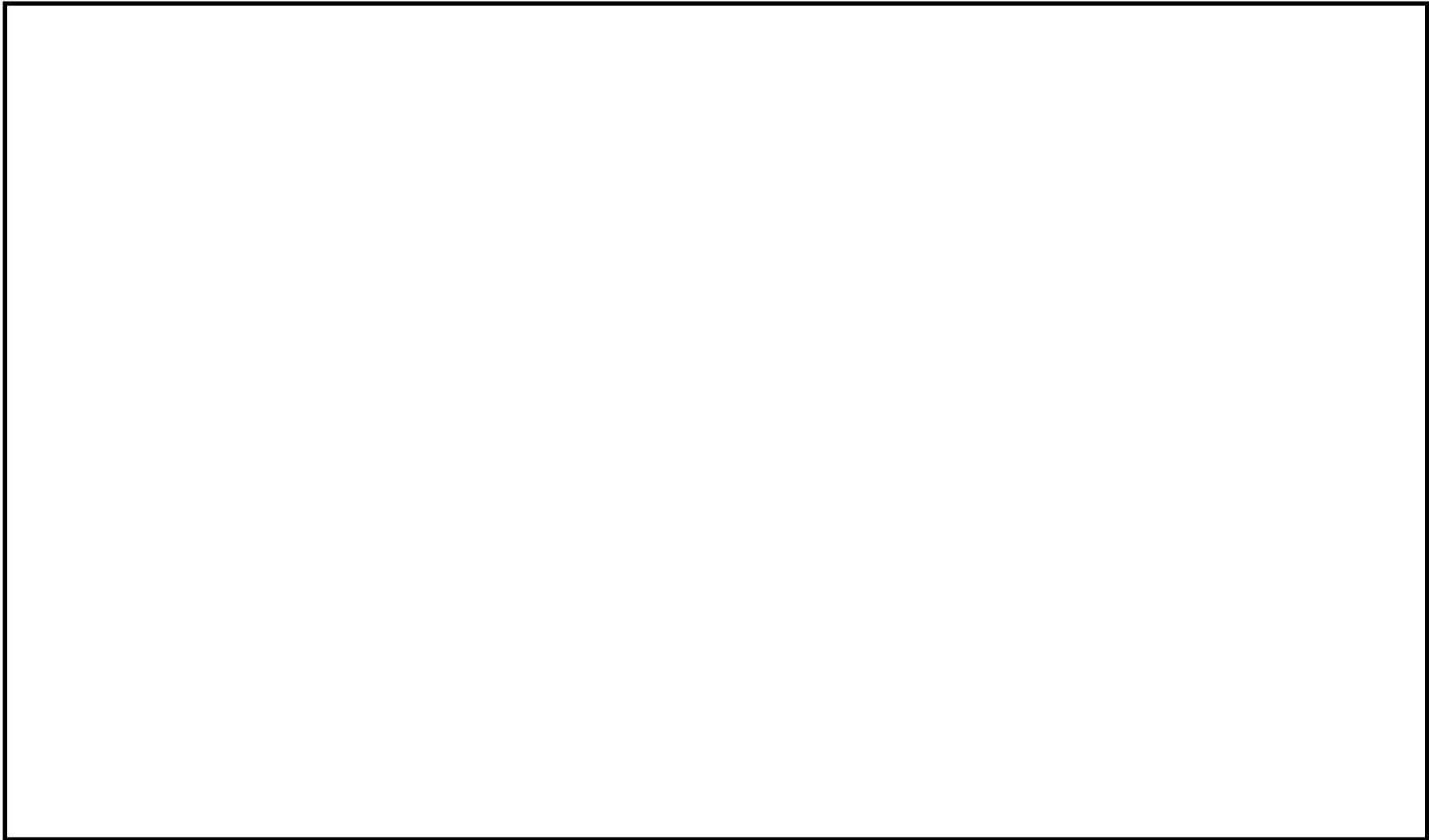
第2-10図 止水板の設置位置図 (EL. 2.00 m)



第2-11図 止水板の設置位置図 (EL. 14.00 m)

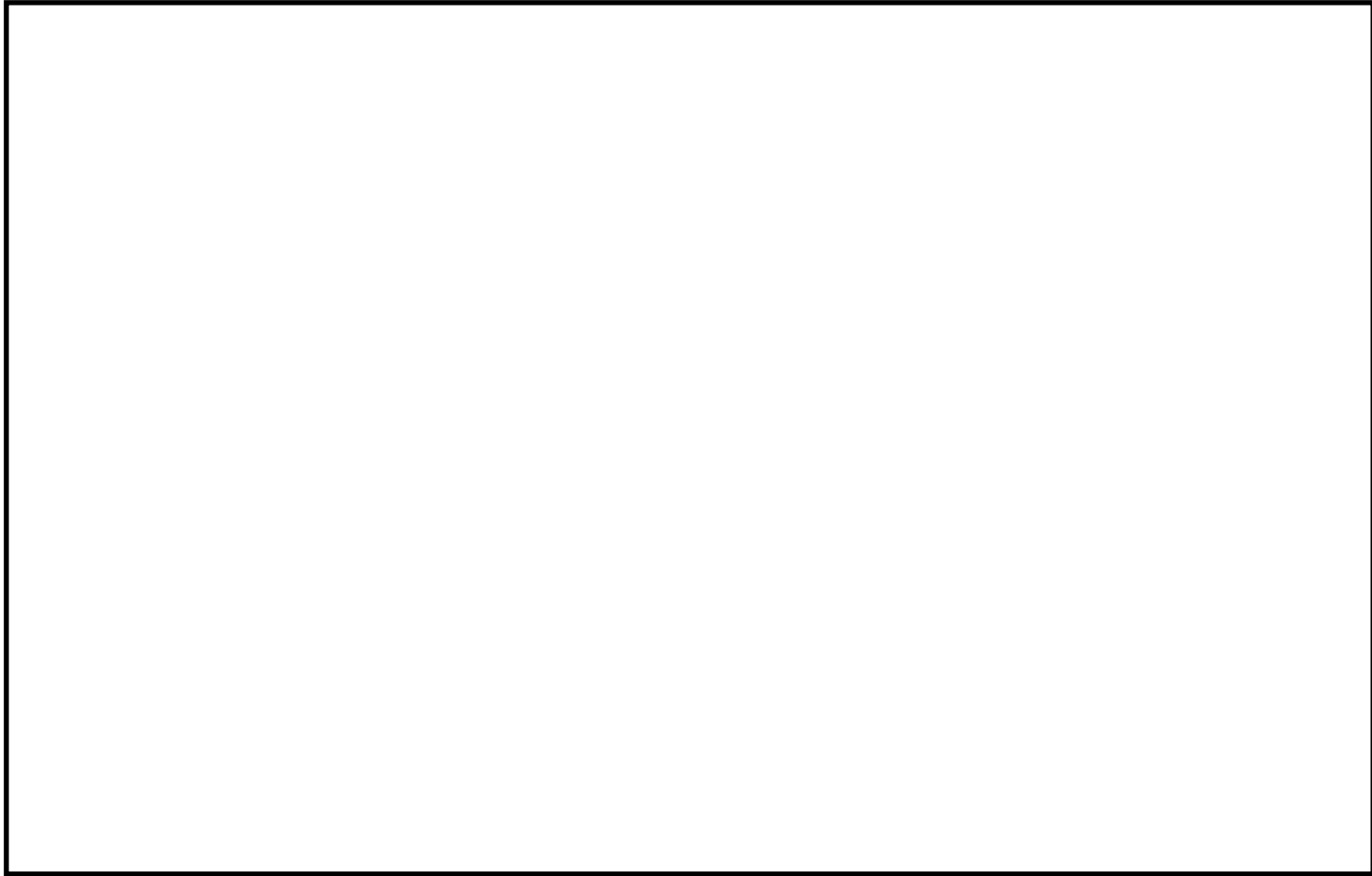


第2-12図 止水板の設置位置図 (EL. 20.30 m)

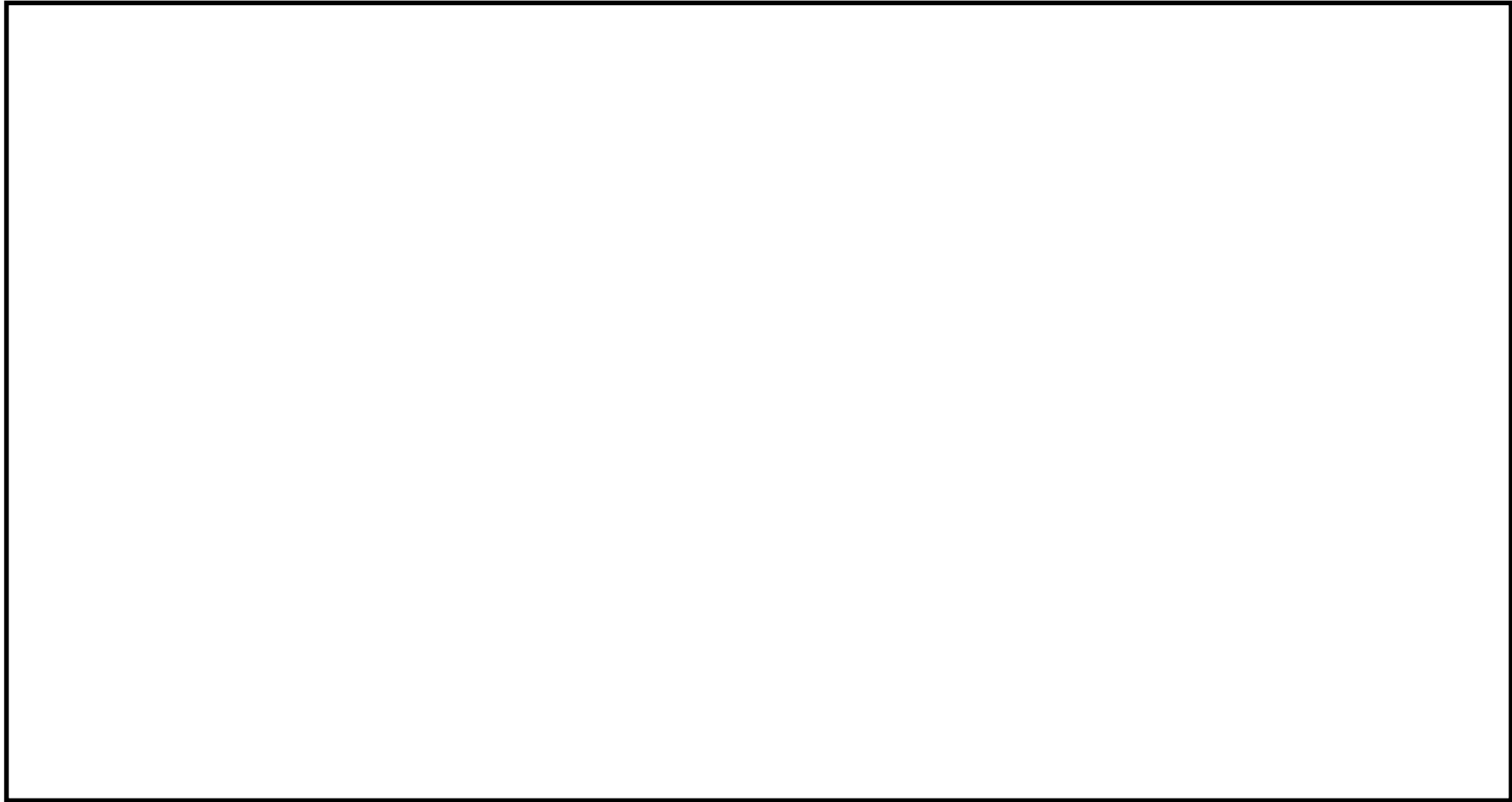


第2-13図 止水板の設置位置図 (EL. 29.00 m)





第2-14図 止水板の設置位置図 (EL. 38.80 m)



第 2-15 図 止水板の設置位置図 (EL. 46.50 m)

## 2.2 構造概要

堰の構造は、V-1-1-8「発電用原子炉施設の溢水防護に関する説明書」のうちV-1-1-8-5「溢水防護施設の詳細設計」の「3. 要求機能及び性能目標」に示す構造計画を踏まえて、詳細な構造を設定する。堰は鉄筋コンクリート製堰と鋼製堰に分類できるため、それぞれの構造について第2-1表及び第2-2表に示す。

### 2.2.1 堰の構造

鉄筋コンクリート製堰は、アンカー筋（鉄筋）により、既存の鉄筋コンクリート躯体と一体化させた鉄筋コンクリート構造物である。

第2-1表 鉄筋コンクリート製堰の構造計画

設備名称	計画の概要		説明図
	主体構造	支持構造	
溢水拡大防止堰  管理区域外伝播防止堰	コンクリート及びアンカー筋により構成する。	躯体を既設コンクリート床版にアンカー筋で固定する。	

2.2.2 鋼製堰の構造

鋼製堰は、梁材、柱材、ベースプレート及びアンカーボルトから構成され、アンカーボルトにより床面と接合する構造とする。なお、パッキン及びコーキングにより止水性を維持する。鋼製堰の概略構造図を第2-16図に示す。

第2-2表 鋼製堰の構造計画

設備名称	計画の概要		説明図
	主体構造	支持構造	
止水板	梁材、柱材、ベースプレート及びアンカーボルトにて構成する。	梁材を柱材に取付け、柱を溶接したベースプレートをコンクリート床版にアンカーボルトにて固定する。	第2-16図

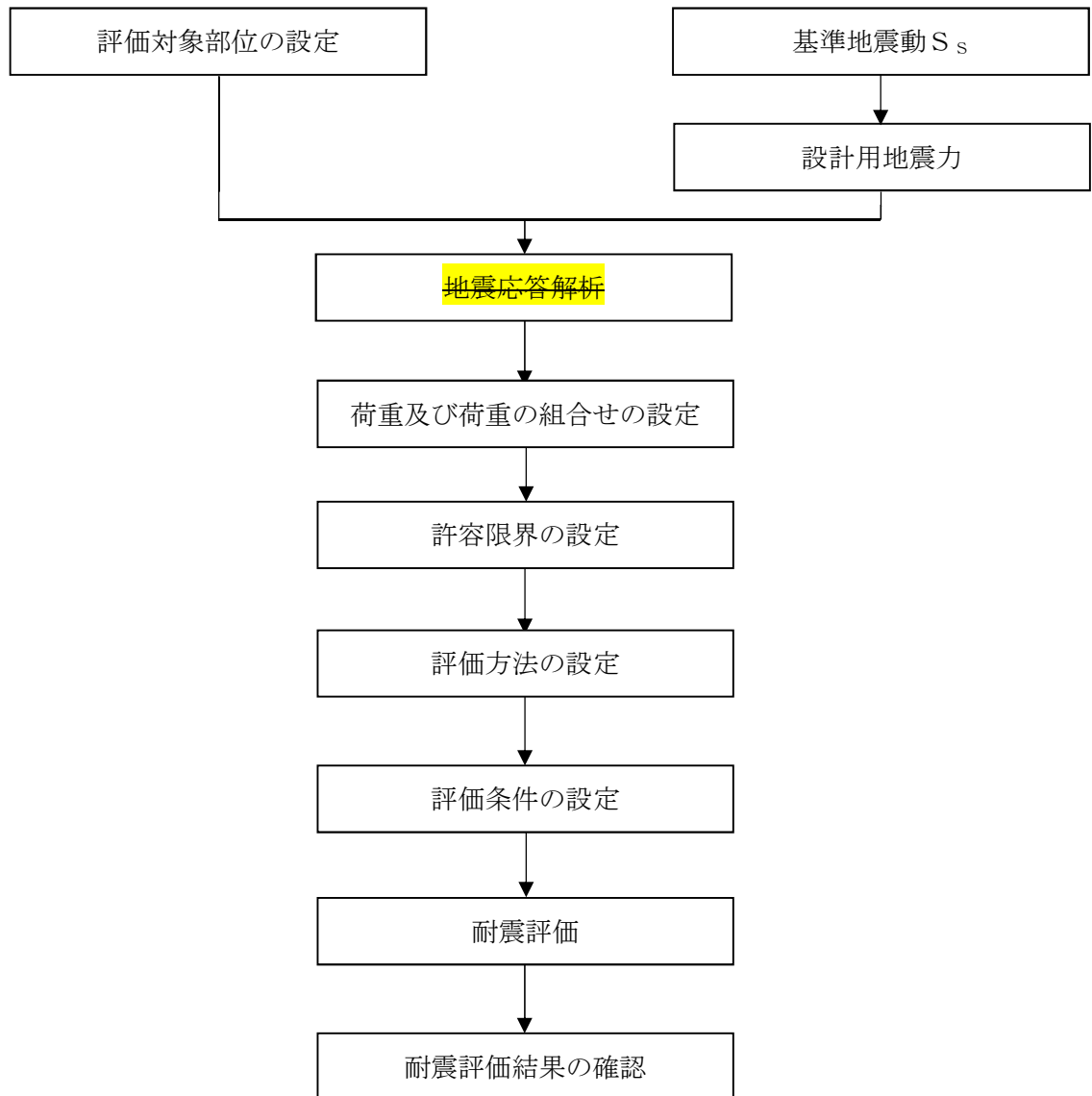


第2-16図 鋼製堰の概略構造図

### 2.3 評価方針

堰は、十分に剛であるため、堰の耐震評価は、資料V-1-1-8-5「溢水防護施設の詳細設計」に準じて、堰の評価対象部位に作用する応力又は荷重が許容限界内にあることを、「4. 耐震評価方法」に示す方法により確認を行う。

堰の耐震評価フローを第2-17図に示す。



第2-17図 堰の耐震評価フロー

## 2.4 適用規格

適用する規格，基準等を以下に示す。

- ・ 建築基準法・同施工令
- ・ 各種合成構造設計指針・同解説((社)日本建築学会，2010 改定)
- ・ 鉄筋コンクリート構造計算規準・同解説 ー許容応力度設計法ー((社)日本建築学会，1999 改定)
- ・ 鋼構造設計規準 ー許容応力度設計法ー((社)日本建築学会，2005 改定)

3. 地震応答解析

3.1 基本方針

堰の耐震評価に用いる地震荷重を算定するための地震応答解析は、堰の設置される建屋及び設置場所における地震応答解析結果を用いる。また、堰は建物・建築物として評価する。

各堰の設置位置における最大応答加速度から算出した基準地震動  $S_s$  による設計用震度を第 3-1 表に示す。

第 3-1 表 地震荷重の算定に用いる設計用震度 (原子炉建屋) (1/2)

分類	設置場所	水平方向 $K_H$	鉛直方向 $K_V$
堰	EL. 46.5 m	1.46	1.26
堰	EL. 38.8 m	1.4	1.2
堰	EL. 29.0 m	1.29	0.98
堰	EL. 23.0 m*	1.17	0.89
堰	EL. 20.3 m	1.11	0.84
堰	EL. 14.0 m	0.95	0.83
堰	EL. 8.2 m	0.92	0.8
堰	EL. 2.0 m	0.8	0.77
堰	EL. -4.0 m	0.72	0.75

\* : 線形補間にて算出

第 3-1 表 地震荷重の算定に用いる設計用震度 (タービン建屋) (2/2)

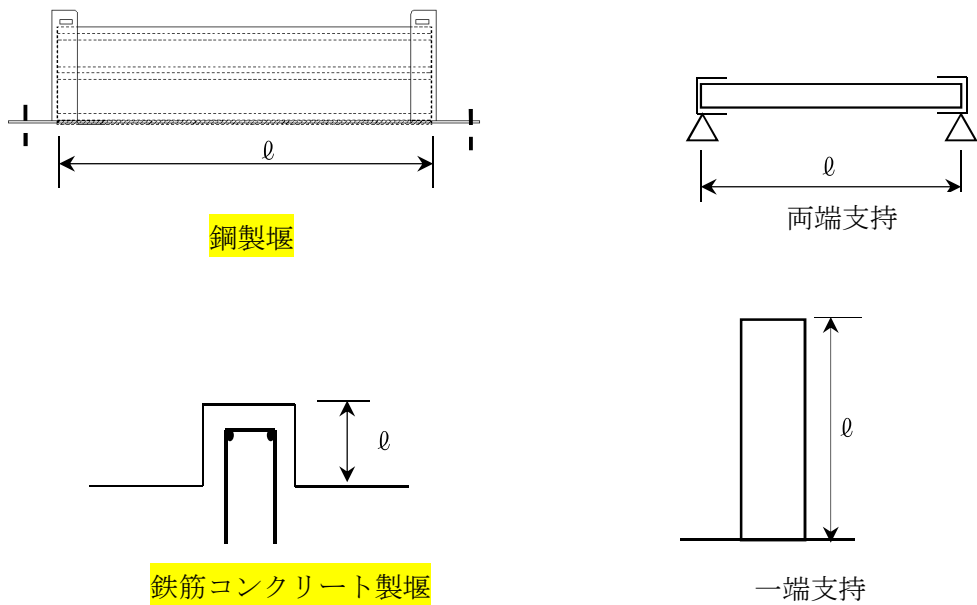
分類	設置場所	水平方向 $K_H$	鉛直方向 $K_V$
堰	EL. 8.2 m	0.7	0.55

### 3.2 固有振動数の計算方法

堰の構造に応じて解析モデルを設定し、固有振動数を求める。

#### 3.2.1 解析モデルの設定

各部部位の寸法や形状を踏まえ、鉄筋コンクリート製堰は片持ちはりに、鋼製堰は両端支持はりに、単純化したモデルとし、堰の評価モデル図を 3-1 図に示す。



第 3-1 図 鉄筋コンクリート製堰及び鋼製堰の評価モデル図

#### 3.2.2 記号の説明

堰の固有振動数算出に用いる記号を第3-2表に示す。

第3-2表 堰の固有振動数算出に用いる記号

記号	単位	定義
f	Hz	堰の固有振動数
$l$	m	はり長さ
E	N/m <sup>2</sup>	ヤング率
I	m <sup>4</sup>	断面2次モーメント
m	kg/m	質量分布



### 3.2.3 固有振動数の算出方法

固有振動数  $f$  を「土木学会 鋼構造力学公式集」に基づき以下の式より算出する。

#### (1) 鋼製堰

$$f = \frac{\pi^2}{2\pi \ell^2} \sqrt{\frac{E I}{m}}$$

#### (2) 鉄筋コンクリート製堰

$$f = \frac{1.8751^2}{2\pi \ell^2} \sqrt{\frac{E I}{m}}$$

### 3.2.4 固有振動数の計算条件及び結果

堰の固有振動数の計算条件を第3-3表に示す。

第3-3表 堰の固有振動数の算出条件及び結果

堰名称	はり長さ $\ell$ (m)	ヤング率 $E$ (N/m <sup>2</sup> )	断面2次 モーメント $I$ (m <sup>4</sup> )	質量分布 $m$ (kg/m)	固有振動数 (Hz)
鉄筋コンクリート製堰 厚さ 200	0.3	$2.2054 \times 10^{10}$	$6.67 \times 10^{-4}$	489.46	1077.89
鉄筋コンクリート製堰 厚さ 300	0.4	$2.2054 \times 10^{10}$	$2.25 \times 10^{-3}$	734.2	909.24

#### 4. 耐震評価方法

##### 4.1 評価対象部位

堰の評価対象部位は、自重及び地震荷重の作用方向及び伝達過程を考慮して設定する。

##### 4.1.1 鉄筋コンクリート製堰の評価対象部位

鉄筋コンクリート製堰の評価対象部位は、地震荷重により応力が発生する堰と既存躯体の取合い部分とし、地震荷重の算定に用いる堰の自重、設計震度及び設計断面を踏まえ評価を包含できる鉄筋コンクリート製堰により代表して評価する。

なお、鉄筋コンクリート製堰上部に鋼製堰を設置する堰については、鋼製堰重量を鉛直方向の付加重量として取扱い、評価を実施する。

評価の対象となる鉄筋コンクリート製堰の溢水水位、高さ及び評価代表を第4-1表に示す。

第4-1表 評価の対象となる鉄筋コンクリート製堰の選定 (1/2)

設置 建屋	設置床 高さ	設備名称	設計断面			設計震度 k		評価 対象 (代 表)
			幅	高さ	鉄筋量	水平*	鉛直	
原子炉建屋原子炉棟	EL. 2.00 m	原子炉建屋原子炉棟溢 水拡大防止堰 B1-1	0.2m	0.3m	D13@ 200	0.8	0.77	
		原子炉建屋原子炉棟溢 水拡大防止堰 B1-2	0.2m	0.3m	D13@ 200			
		原子炉建屋原子炉棟溢 水拡大防止堰 B1-3	0.2m	0.3m	D13@ 200			
		原子炉建屋原子炉棟溢 水拡大防止堰 B1-4	0.2m	0.3m	D13@ 200			
	EL. 8.20 m	原子炉建屋原子炉棟溢 水拡大防止堰 1-1	0.2m	0.3m	D13@ 200	0.92	0.8	
		原子炉建屋原子炉棟溢 水拡大防止堰 1-2	0.2m	0.3m	D13@ 200			
		原子炉建屋原子炉棟溢 水拡大防止堰 1-3	0.2m	0.3m	D13@ 200			
	EL. 14.00 m	原子炉建屋原子炉棟溢 水拡大防止堰 2-1	0.2m	0.3m	D13@ 200	0.95	0.83	
		原子炉建屋原子炉棟溢 水拡大防止堰 2-2	0.2m	0.3m	D13@ 200			
	EL. 20.30 m	原子炉建屋原子炉棟溢 水拡大防止堰 3-1	0.2m	0.3m	D13@ 200	1.11	0.84	
		原子炉建屋原子炉棟溢 水拡大防止堰 3-2	0.2m	0.3m	D13@ 200			
	EL. 29.00 m	原子炉建屋原子炉棟溢 水拡大防止堰 4-1	0.2m	0.3m	D13@ 200	1.29	0.98	
	EL. 38.80 m	原子炉建屋原子炉棟溢 水拡大防止堰 5-1	0.2m	0.3m	D13@ 200	1.40	1.20	
		原子炉建屋原子炉棟溢 水拡大防止堰 5-2	0.2m	0.3m	D13@ 200			

\* : NS方向及びEW方向の最大値を用いる。

第4-1表 評価の対象となる鉄筋コンクリート製堰の選定 (2/2)

設置 建屋	設置床 高さ	設備名称	設計断面			設計震度 k		評価 対象 (代 表)
			幅	高さ	鉄筋量	水平*	鉛直	
原子炉建屋 原子炉棟	EL. 46.50 m	原子炉建屋原子炉棟溢 水拡大防止堰 6-1	0.3m	0.4m	D13@ 200	1.46	1.26	
		原子炉建屋原子炉棟溢 水拡大防止堰 6-2	0.3m	0.4m	D13@ 200			
		原子炉建屋原子炉棟溢 水拡大防止堰 6-3	0.3m	0.4m	D13@ 200			
		原子炉建屋原子炉棟溢 水拡大防止堰 6-4	0.3m	0.4m	D13@ 200			○
		原子炉建屋原子炉棟溢 水拡大防止堰 6-5	0.3m	0.4m	D13@ 200			
原子炉建屋付 属棟	EL. 23.00 m	原子炉建屋付属棟溢水 拡大防止堰	0.3m	0.4m	D13@ 200	1.17	0.89	
タービン建屋	EL. 8.20 m	タービン建屋管理区域 外伝播防止堰1-1	0.2m	0.3m	D13@ 200	0.7	0.55	
		タービン建屋管理区域 外伝播防止堰1-2	0.2m	0.3m	D13@ 200			
		タービン建屋管理区域 外伝播防止堰1-3	0.2m	0.3m	D13@ 200			
		タービン建屋管理区域 外伝播防止堰1-4	0.2m	0.3m	D13@ 200			

\* : NS方向及びEW方向の最大値を用いる。

4.1.2 鋼製堰の評価対象部位

鋼製堰の評価対象部位は、鋼製堰に作用する自重及び地震荷重により応力が発生する梁材、柱材、ベースプレート及びアンカーボルトを評価対象部位として設定する。なお、梁材及びパネルは一体構造であるが、梁材の評価でパネルを付加重量として扱い、パネルの断面剛性には期待せず梁材のみにて評価を行う。

地震荷重の算定に用いる鋼製堰の自重、設計震度及び設計断面を踏まえ評価を包含できる堰により代表して評価する。

評価対象とする鋼製堰の選定結果を第4-2表に示す。

第4-2表 評価対象とする鋼製堰の選定結果 (1/3)

設置建屋	設備名称	設置床高さ	水平震度 (G)	高さ (m)	評価対象 (代表)
原子炉建屋 原子炉棟	原子炉建屋原子炉棟止水板B2-1	EL. -4.00 m	0.72		
	原子炉建屋原子炉棟止水板B2-2				
	原子炉建屋原子炉棟止水板B2-3				
	原子炉建屋原子炉棟止水板B1-1	EL. 2.00 m	0.8	0.3	
	原子炉建屋原子炉棟止水板B1-2				
	原子炉建屋原子炉棟止水板B1-3				
	原子炉建屋原子炉棟止水板2-1	EL. 14.00 m	0.95	0.3	
	原子炉建屋原子炉棟止水板3-1	EL. 20.30 m	1.11	0.3	
	原子炉建屋原子炉棟止水板3-2			0.3	

第4-2表 評価対象とする鋼製堰の選定結果 (2/3)

設置建屋	設備名称	設置高さ	水平震度 (G)	高さ (m)	評価対象 (代表)
原子炉建屋 原子炉棟	原子炉建屋原子炉棟止水 板3-3	EL. 20.30 m	1.11	0.3	
	原子炉建屋原子炉棟止水 板3-4			0.3	
	原子炉建屋原子炉棟止水 板3-5			0.3	
	原子炉建屋原子炉棟止水 板3-6			0.3	
	原子炉建屋原子炉棟止水 板3-7			0.3	
	原子炉建屋原子炉棟止水 板4-1	EL. 29.00 m	1.29	0.3	
	原子炉建屋原子炉棟止水 板4-2			0.3	
	原子炉建屋原子炉棟止水 板4-3			0.3	
	原子炉建屋原子炉棟止水 板4-4			0.3	
	原子炉建屋原子炉棟止水 板4-5			0.3	
	原子炉建屋原子炉棟止水 板5-1	EL. 38.80 m	1.4	0.3	
	原子炉建屋原子炉棟溢水 拡大防止堰6-1	EL. 46.90 m	1.48*	0.3	

\* : EL. 57.0 m 及び EL. 46.5 m の最大床加速度を直線補完

第4-2表 評価対象とする鋼製堰の選定結果 (3/3)

設置建屋	設備名称	設置高さ	水平震度 (G)	高さ (m)	評価対象 (代表)
原子炉建屋 原子炉棟	原子炉建屋原子炉棟溢水 拡大防止堰6-2	EL. 46.90 m	1.48*	0.3	
	原子炉建屋原子炉棟溢水 拡大防止堰6-3			0.3	
	原子炉建屋原子炉棟溢水 拡大防止堰6-4			0.3	
	原子炉建屋原子炉棟溢水 拡大防止堰6-5			0.3	
	原子炉建屋原子炉棟止水 板6-1	EL. 46.50 m	1.46	0.7	○
	原子炉建屋原子炉棟止水 板6-2			0.7	

\* : EL. 57.0 m 及び EL. 46.5 m の最大床加速度を直線補完

## 4.2 荷重及び荷重の組合せ

### 4.2.1 荷重

#### (1) 固定荷重 (G)

鉄筋コンクリート製堰の自重を第4-3表に、鋼製堰の自重を第4-4表示す。

第4-3表 鉄筋コンクリート製堰の自重

名称	種類	単位容積重量 (kN/m <sup>3</sup> )	単位幅あたりの重量* (kN)
原子炉建屋原子炉棟 溢水拡大防止堰 6-4	鉄筋コンクリート F <sub>c</sub> =22.1 N/mm <sup>2</sup>	24	2.88

\* : 1 mあたりの重量

第4-4表 鋼製堰の自重

名称	種類	質量 (kg)
原子炉建屋原子炉棟 止水板 6-1	梁材*	
	柱材	
	合計	

\* : パネル重量を考慮

#### (2) 地震荷重 (K<sub>s</sub>)

地震荷重は、基準地震動S<sub>s</sub>による荷重を考慮する。

「3. 地震応答解析」で設定した設計震度を用いて、次式により算定する。

$$K_s = G \cdot k$$

ここで、K<sub>s</sub> : 地震荷重 (kN)

G : 堰の固定荷重 (kN)

k : 設計震度



4.2.2 荷重の組合せ

堰の評価に用いる荷重の組合せを第4-4表に示す。

EL. 46.50 mの堰は、積載荷重として鋼製堰重量を考慮する。

第4-4表 荷重の組合せ

地震荷重	荷重の組合せ
$S_s$	$G + K_{SH} + K_{SUD}$

$G$  : 堰の固定荷重

$K_{SH}$  : 基準地震動 $S_s$ による水平方向の地震荷重

$K_{SUD}$  : 基準地震動 $S_s$ による鉛直方向の地震荷重

4.3 材料の諸元

鉄筋コンクリート製堰の諸元を第4-5表に、鋼製堰の諸元を第4-6表に示す。

第4-5表 鉄筋コンクリート製堰の仕様

種類	仕様
コンクリート	設計規準強度 22.1 N/mm <sup>2</sup>
鉄筋	SD295A

第4-6表 鋼製堰の仕様

種類	仕様
梁材	SS400
柱材	SS400
ベースプレート	SS400
アンカーボルト	SS400, M12

4.4 許容限界

V-2-1-9「機能維持の基本方針」のうち「3.1 構造強度上の制限」に基づき、使用材料の許容限界は短期許容応力度又は短期許容荷重とする。

4.4.1 鉄筋コンクリート製堰の許容限界

(1) 鉄筋

「各種合成構造設計指針・同解説（（社）日本建築学会，2010 改定）」に基づき算定した，アンカー筋として使用する鉄筋の短期許容荷重を第 4-6 表に示す。

第 4-6 表 鉄筋の短期許容荷重

堰名称	種類	短期許容荷重 (kN/本)	
		引張	せん断
原子炉建屋原子炉棟 棟溢水拡大防止堰 6-4	SD295A D13@200	34.3	15.1

(2) コンクリート

「鉄筋コンクリート構造計算規準・同解説 ー許容応力度設計法ー（(社)日本建築学会、1999 改定）」に基づき算定したコンクリートの短期許容応力度を第 4-7 表に示す。

第 4-7 表 コンクリートの短期許容応力度

設計基準強度 $F_c$ ( $N/mm^2$ )	短期許容応力度 ( $N/mm^2$ )	
	せん断	圧縮
22.1	1.08	14.73

4.4.2 鋼製堰の許容限界

(1) 枠材，柱材

「鋼構造設計基準ー許容応力度設計法ー」（(社)日本建築学会，2005 改訂）に基づき算定した，短期許容荷重を第 4-8 表に示す。

第 4-8 表 梁材等の評価条件

種類	短期許容応力度		
	曲げ ( $N/mm^2$ )	せん断 ( $N/mm^2$ )	合成 ( $N/mm^2$ )
SS400	235	135	235

(2) ベースプレート

「鋼構造設計基準ー許容応力度設計法ー」（(社)日本建築学会，2005 改訂）に基づき算定した，短期許容荷重を第 4-9 表に示す。

第 4-9 表 ベースプレートの評価条件

種類	短期許容応力度
	曲げ ( $N/mm^2$ )
SS400	235

## (3) アンカーボルト

「各種合成構造設計指針・同解説（（社）日本建築学会，2010 改定）」に基づき算定した，短期許容荷重を第 4-10 表に示す。

なお，引張力を受ける場合においては，アンカーボルトの降伏より決まる耐力及び定着したコンクリート躯体のコーン状破壊により決まる耐力を比較して，いずれか小さい値を採用する。また，せん断力を受ける場合においては，アンカーボルトのせん断強度に決まる耐力，定着したコンクリート躯体の支圧強度及びコーン状破壊により決まる耐力を比較して，いずれか小さい値を採用する。

第 4-10 表 アンカーボルトの短期許容荷重

種類	短期許容荷重 (N)	
	引張	せん断
SS400, M12	7664	2846

## 4.5 評価方法等

鉄筋コンクリート製堰の耐震評価は，地震により生じる応力度又は荷重が，「4.4 許容限界」で設定した許容限界値を超えないことを確認する。

## 4.5.1 鉄筋コンクリート製堰の評価方法

鉄筋コンクリート製堰に生じる応力は，地震荷重(水平方向及び鉛直方向)を受ける片持ちはりとして，既存躯体との接合部に生じる曲げモーメント及びせん断力を算定し，鉄筋に生じる引張力及びせん断力並びにコンクリートに生じるせん断力及び圧縮力に対する確認を行う。

また，鉄筋に生じる引張力に対する確認においては，鉄筋コンクリート製堰の自重による鉛直方向上向き地震荷重を組み合わせるものとし，荷重の組み合わせは組合せ係数法による。鉛直方向下向きに生じる荷重は，既存躯体により支持されるため堰の設計に考慮しない。

(1) 応力算定

基準地震動  $S_s$  により堰に生じる応力は、第 4-1 図及び第 4-2 図に示すとおり、地震荷重が鉄筋コンクリート製堰の重心位置に作用するものとし、単位幅当たりの算定とする。

a. 曲げモーメント

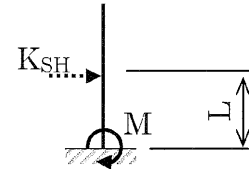
曲げモーメントは次式により算定する。

$$M = K_{SH} \cdot L$$

ここで、 $M$  : 曲げモーメント (kN・m)

$K_{SH}$  : 地震荷重 (kN)

$L$  : 堰の接合部から荷重作業位置までの高さ (m)



第 4-1 図 堰に生じる荷重模式図  
(曲げモーメント)

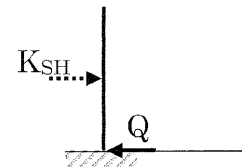
b. せん断力

せん断力は次式により算定する。

$$Q = K_{SH}$$

ここで、 $Q$  : せん断力 (kN)

$K_{SH}$  : 地震荷重 (kN)



第 4-2 図 堰に生じる荷重模式図  
(せん断力)

(2) 断面検定

a. 鉄筋

(a) 引張力に対する検定

鉄筋コンクリート製堰に生じる曲げモーメント及び鉄筋コンクリート製堰の自重による鉛直方向上向き地震荷重の組合せにより、鉄筋 1 本あたりに生じる引張力を次式により算定し、鉄筋 1 本あたりの許容限界値を超えないことを確認する。地震荷重は、組合せ係数法に基づいて水平 1.0+鉛直 0.4 又は水平 0.4+鉛直 1.0 のうち大なる値とする。鉄筋コンクリート製堰に生じる荷重の概念図を第 4-3 図に示す。

$$T = \frac{M}{n \cdot j} + \frac{K_{SUD}}{n}$$

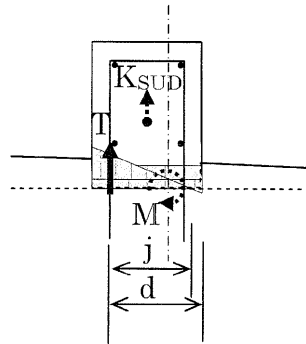
ここで、 $T$  : 鉄筋 1 本あたりに生じる引張力 (kN/本)

$M$  : 曲げモーメント (kN・m)

$n$  : 単位幅 (1m) 当たりの鉄筋本数 (本)

$j$  : 応力中心距離 ( $j = \frac{7}{8} \cdot d$ ) (mm)

$K_{SUD}$  : 地震荷重 (鉛直上向き) (kN)



第4-3図 堰に生じる荷重

## (b) せん断力に対する検定

鉄筋コンクリート製堰に生じるせん断力より、鉄筋 1 本あたりに生じるせん断力を次式により算定し、鉄筋 1 本あたりの許容限界値を超えないことを確認する。

$$Q_a = \frac{Q}{n}$$

ここで、 $Q_a$  : 鉄筋 1 本あたりに生じるせん断力 (kN/本)

$Q$  : せん断力 (kN)

$n$  : 単位幅 (1m) 当たりの鉄筋本数 (本)

## b. コンクリート

## (a) せん断力に対する検定

鉄筋コンクリート製堰に生じるせん断応力度を次式により算定し、コンクリートの許容限界値を超えないことを確認する。

$$\tau = \frac{Q}{A}$$

ここで、 $\tau$  : せん断応力度 (N/mm<sup>2</sup>)

$Q$  : せん断力 (kN)

$A$  : 堰の断面積 (mm<sup>2</sup>)

## (b) 圧縮力に対する検定

鉄筋コンクリート製堰に生じる曲げモーメントにより発生するコンクリートの圧縮縁応力度を次式により算定し、コンクリートの許容限界値を超えないことを確認する。圧縮縁応力の算定にあたり、圧縮側鉄筋は考慮しない。

鉄筋コンクリート製堰に生じる荷重の概念図を第4-4図に示す。

$$\sigma_c = \frac{T' \cdot 2}{x_n \cdot b}$$

ここで、 $\sigma_c$  : コンクリートの圧縮縁応力度 (N/mm<sup>2</sup>)

$T'$  : 引張側鉄筋に生じる引張力 ( $M/j$ ) (N)

$M$  : 曲げモーメント ( $\text{kN} \cdot \text{m}$ )

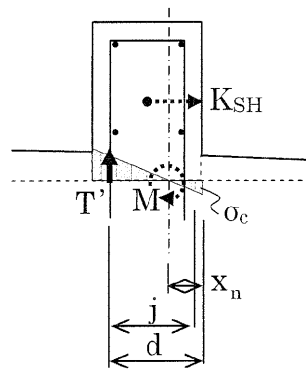
$j$  : 応力中心距離 ( $j = \frac{7}{8} \cdot d$ ) (mm)

$d$  : 部材の有効せい (mm)

$x_n$  : 中心軸から圧縮縁までの距離 (mm)

$$x_n = (d - j) \cdot 3$$

$b$  : 単位幅 (1000) (mm)



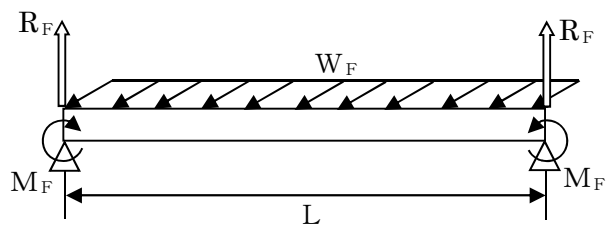
第 4-4 図 堰に生じる荷重

#### 4.5.2 鋼製堰の評価方法

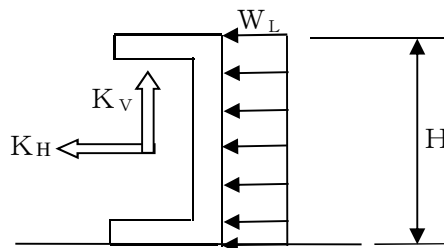
鋼製堰に生じる応力は、自重及び地震荷重(水平方向及び鉛直方向)を受けるモデルに置き換え、梁材、柱材、ベースプレート及びアンカーボルトに発生する応力を算定し、各評価限界との比較により耐震性を確認する。

##### (1) 応力算定

自重及び地震荷重(水平方向及び鉛直方向)を受ける梁材に生じる曲げ応力及びせん断応力、柱材に生じる曲げ応力及びせん断力、アンカーボルトに生じる引張力及びせん断力並びにベースプレートに生じる曲げ応力に対する確認を行うに当たり、各荷重により生じる曲げモーメント、せん断力及び水平反力を次式により算出する鋼製堰に生じる力の概念図を第4-5図、第4-6図、第4-7図及び第4-8図に示す。

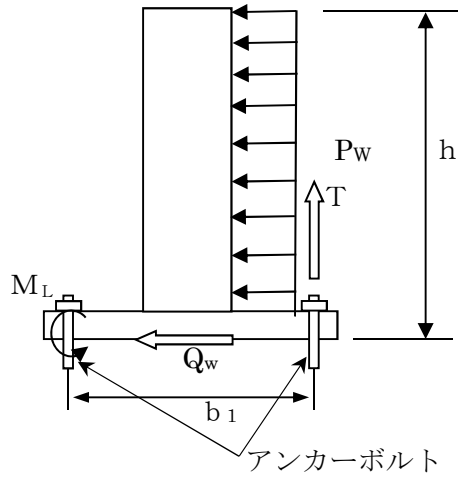


第4-5図 梁材に生じる力の模式図

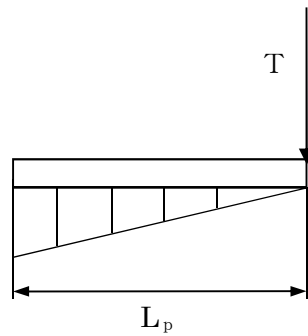


第4-6図 梁材に生じる力の模式図





第 4-7 図 アンカーボルト，柱材に生じる力の模式図



第 4-8 図 ベースプレートに生じる力の模式図

(2) 梁材の検定

a. 単位長さ当たりの水平方向地震荷重

単位長さ当たりの水平方向地震荷重は次式より算出する。

$$W_F = K_H \cdot w_1$$

$$W_1 = \lambda \cdot g \cdot 10^{-3}$$

$W_F$  : 梁材に作用する単位長さ当たりの水平方向地震荷重 (N/mm)

$W_1$  : 梁材に作用する単位長さ当たりの質量 (N/mm)

$K_H$  : 水平方向震度 (G)

$\lambda$  : 梁材単位長さあたりの質量 (kg/m)

$g$  : 重力加速度 ( $m/s^2$ )

## b. 梁材に生じる曲げ応力度

梁材に生じる曲げ応力度は機械工学便覧に基づき次式より算出し、梁材の短期許容曲げ応力度を下回ることを確認する。

$$\sigma_F = \frac{M_F}{Z_F}$$

$$M_F = \frac{W_F \cdot L^2}{8}$$

$\sigma_F$  : 梁材の曲げ応力度 (N/mm<sup>2</sup>)

$M_F$  : 梁材の曲げモーメント (N・mm)

$Z_F$  : 梁材の断面係数 (mm<sup>3</sup>)

$W_F$  : 梁材に作用する単位長さ当たりの水平方向地震荷重 (N/mm)

$L$  : 止水板全長 (mm)

## c. 梁材に生じるせん断応力度

梁材に生じるせん断応力度は機械工学便覧に基づき次式より算出し、梁材の短期許容せん断応力度を下回ることを確認する。

$$\tau_F = \frac{R_F}{A_F}$$

$$R_F = \frac{W_F \cdot L}{2}$$

$\tau_F$  : 梁材のせん断応力度 (N/mm<sup>2</sup>)

$R_F$  : 梁材の発生せん断力 (N)

$A_F$  : 梁材のせん断断面積 (mm<sup>2</sup>)

$W_F$  : 梁に作用する単位長さ当たりの水平方向地震荷重 (N/mm)

$L$  : 止水板全長 (mm)

## d. 曲げとせん断の合成に対する検定

梁材に生じる曲げとせん断の合成応力度を「鋼構造設計規準—許容応力度設計法—」((社)日本建築学会, 2005改定)に基づく次式により算出し、梁材の短期許容合成応力度を下回ることを確認する。

$$\sigma_{e p F} = \sqrt{\sigma_F^2 + 3 \cdot \tau_F^2}$$

$\sigma_{e p F}$  : 梁材の合成応力度 (N/mm<sup>2</sup>)

$\sigma_F$  : 梁材の曲げ応力度 (N/mm<sup>2</sup>)

$\tau_F$  : 梁材のせん断応力度 (N/mm<sup>2</sup>)

## (3) 柱材の検定

## a. 単位長さ当たりの水平方向地震荷重

単位長さ当たりの水平方向地震荷重は次式より算出する。

$$W_L = K_H \cdot w_2$$

$$W_2 = \lambda_L \cdot g \cdot 10^{-3}$$

$W_L$  : 柱材に作用する単位長さ当たりの水平方向地震荷重 (N/mm)

$W_2$  : 柱材に作用する単位長さ当たりの質量 (N/mm)

$K_H$  : 水平方向震度 (G)

$\lambda_L$  : 柱材単位長さあたりの質量 (kg/m)

$g$  : 重力加速度 (m/s<sup>2</sup>)

## b. 柱材に生じる曲げ応力度

柱材に生じる曲げ応力度は構造力学公式集に基づき次式より算出し、柱材の短期許容曲げ応力度を下回ることを確認する。

$$\sigma_L = \frac{M_L}{Z_L}$$

$$M_L = \frac{W_L \cdot h^2}{2}$$

$\sigma_L$  : 柱材の曲げ応力度 (N/mm<sup>2</sup>)

$M_L$  : 柱材の曲げモーメント (N・mm)

$Z_L$  : 柱材の断面係数 (mm<sup>3</sup>)

$W_L$  : 単位長さ当たりの水平方向地震荷重 (N/mm)

$h$  : 止水板高さ (mm)

## c. 柱材に生じるせん断応力度

柱材に生じるせん断応力度は機械工学便覧に基づき次式より算出し、柱材の短期許容せん断応力度を下回ることを確認する。

$$\tau_L = \frac{R_L}{A_L}$$

$$R_L = W_L \cdot h$$

$\tau_L$  : 柱材のせん断応力度 (N/mm<sup>2</sup>)

$R_L$  : 柱材の発生せん断力 (N)

$A_L$  : 柱材のせん断断面積 (mm<sup>2</sup>)

$W_L$  : 単位高さ当たりの水平方向地震荷重 (N/mm)

$h$  : 止水板高さ (mm)

## e. 曲げとせん断の合成に対する検定

柱材に生じる曲げとせん断の合成応力度を「鋼構造設計規準—許容応力度設計法—」((社)日本建築学会, 2005改定)に基づく次式により算出し, 柱材の短期許容合成応力度を下回ることを確認する。

$$\sigma_{e p L} = \sqrt{\sigma_L^2 + 3 \cdot \tau_L^2}$$

- $\sigma_{e p L}$  : 柱材の合成応力度 (N/mm<sup>2</sup>)  
 $\sigma_L$  : 柱材の曲げ応力度 (N/mm<sup>2</sup>)  
 $\tau_L$  : 柱材のせん断応力度 (N/mm<sup>2</sup>)

## (4) アンカーボルトの検定

## a. 柱材に作用する単位長さ当たりの水平方向地震荷重

柱材に作用する単位長さ当たりの水平方向地震荷重は次式より算出する。

$$W_L = K_H \cdot w_2$$

- $W_L$  : 柱材に作用する単位長さ当たりの水平方向地震荷重 (N/mm)  
 $K_H$  : 水平方向震度 (G)  
 $g$  : 重力加速度 (m/s<sup>2</sup>)

## b. アンカーボルトの発生引張力に対する検定

アンカーボルトの発生引張力を算出し, アンカーボルトの短期許容引張荷重を下回ることを確認する。

$$T = \frac{M_L}{2b_1}$$

$$M_L = \frac{W_L \cdot h^2}{2}$$

- $T$  : アンカーボルトの発生引張力 (N)  
 $M_L$  : 柱材の曲げモーメント (N・mm)  
 $b_1$  : アンカーボルトピッチ (mm)  
 $W_L$  : 柱材に作用する単位長さ当たりの水平方向地震荷重 (N/mm)  
 $h$  : 止水板高さ (mm)

## b. アンカーボルトの発生せん断力に対する検定

アンカーボルトの発生せん断力は次式より算出し, アンカーボルトの短期許容せん断力を下回ることを確認する。

$$Q = \frac{Q_w}{n}$$

$$Q_w = W_L \cdot h$$

- $Q$  : アンカーボルトの発生せん断力 (N)  
 $Q_w$  : 柱材に作用するせん断力 (N)  
 $n$  : アンカーボルト本数 (本)  
 $W_L$  : 柱材に作用する単位長さ当たりの水平方向地震荷重 (N/mm)  
 $h$  : 止水板高さ (mm)

c. 引張力とせん断力の組合せに対する検定

組合せによる評価を「各種合成構造設計指針・同解説」((社)日本建築学会, 2010改定)に基づく次式により算出し, 1以下であることを確認する。

$$\left(\frac{T}{P_a}\right)^2 + \left(\frac{Q}{q_a}\right)^2 \leq 1$$

- $T$  : アンカーボルトの発生引張力 (N)  
 $P_a$  : アンカーボルトの引張に対する短期許容荷重 (N)  
 $Q$  : アンカーボルトの発生せん断力 (N)  
 $q_a$  : アンカーボルトのせん断に対する短期許容荷重 (N)

(5) ベースプレート

a. ベースプレートに生じる曲げ応力度

ベースプレートに生じる曲げ応力度は機械工学便覧に基づき次式より算出し, ベースプレートの短期許容曲げ応力度を下回ることを確認する。

$$Q_1 = T \cdot \frac{L_P}{Z_P}$$

- $Q_1$  : ベースプレートに生じる曲げ応力度 (N/mm<sup>2</sup>)  
 $T$  : アンカーボルトの発生引張力 (N)  
 $L_P$  : ベースプレートのレバー長さ (mm)  
 $Z_P$  : ベースプレートの断面係数 (mm<sup>3</sup>)

#### 4.6 評価条件

4.6.1 鉄筋コンクリート製堰の耐震評価に用いる入力値を第4-11表に示す

第4-11表 耐震評価に用いる入力値

記号	単位	定義
$K_s$	kN	地震荷重 $K_{SH}$ (水平方向)
		地震荷重 $K_{SUD}$ (鉛直方向)
$G$	kN	堰の固定荷重
$k$	—	設計震度(水平方向)
		設計震度(鉛直方向)
$M$	kN・m	曲げモーメント
$L$	m	堰の接合部から荷重作用位置までの高さ
$Q$	kN	せん断力
$T$	kN/本	鉄筋1本あたりに生じる引張力
$n$	本	単位幅(1m)当たりの鉄筋本数
$j$	mm	応力中心距離
$d$	mm	部材の有効せい
$Q_a$	kN/本	鉄筋1本あたりに生じるせん断力
$\tau$	N/mm <sup>2</sup>	せん断応力度
$A$	mm <sup>2</sup>	堰の断面積
$\sigma_c$	N/mm <sup>2</sup>	コンクリートの圧縮縁応力度
$T'$	N	引張側鉄筋に生じる引張力
$x_a$	mm	中立軸から圧縮縁までの距離
$b$	mm	単位幅

4.6.2 鋼製堰の耐震評価に用いる入力値を第4-12表に示す

第4-12表 耐震評価に用いる入力値 (1/2)

記号	単位	定義
$W_F$	N/mm	梁材に作用する単位長さ当たりの水平方向地震荷重
$W_1$	N/mm	梁材に作用する単位長さ当たりの質量
$K_H$	G	水平方向震度
$\lambda$	kg/m	梁材単位長さあたりの質量
$g$	m/s <sup>2</sup>	重力加速度
$\sigma_F$	N/mm <sup>2</sup>	梁材の曲げ応力度
$M_F$	N・mm	梁材の曲げモーメント
$Z_F$	mm <sup>3</sup>	梁材の断面係数
$L$	mm	止水板全長
$\tau_F$	N/mm <sup>2</sup>	梁材のせん断応力度
$R_F$	N	梁材の発生せん断力
$A_F$	mm <sup>2</sup>	梁材のせん断断面積
$\sigma_{epF}$	N/mm <sup>2</sup>	梁材の合成応力度
$W_L$	N/mm	柱材に作用する単位長さ当たりの水平方向地震荷重
$W_2$	N/mm	柱材に作用する単位長さ当たりの質量
$\lambda_L$	kg/m	柱材単位長さあたりの質量
$\sigma_L$	N/mm <sup>2</sup>	柱材の曲げ応力度
$M_L$	N・mm	柱材の曲げモーメント
$Z_L$	mm <sup>3</sup>	柱材の断面係数
$W_L$	N/mm	単位長さ当たりの水平方向地震荷重
$h$	mm	止水板高さ

第4-12表 耐震評価に用いる入力値 (2/2)

記号	単位	定義
$\tau_L$	N/mm <sup>2</sup>	柱材のせん断応力度
$R_L$	N	柱材の発生せん断力
$A_L$	mm <sup>2</sup>	柱材のせん断断面積
$\sigma_{epL}$	N/mm <sup>2</sup>	柱材の合成応力度
T	N	アンカーボルトの発生引張力
$b_1$	mm	アンカーボルトピッチ
Q	N	アンカーボルトの発生せん断力
$Q_w$	N	柱材に作用するせん断力
n	本	アンカーボルト本数
$P_a$	N	アンカーボルトの引張に対する短期許容荷重
$q_a$	N	アンカーボルトのせん断に対する短期許容荷重
$Q_1$	N/mm <sup>2</sup>	ベースプレートに生じる曲げ応力度
$L_P$	mm	ベースプレートのレバー長さ
$Z_P$	mm <sup>3</sup>	ベースプレートの断面係数



5. 評価結果

鉄筋コンクリート製堰の耐震評価結果を第5-1表に、鋼製堰の耐震評価結果を第5-2表に示す。発生値は許容値を満足しており、地震荷重に対して溢水伝播を防止する機能を維持するために、十分な構造強度を有することを確認した。

第5-1表 鉄筋コンクリート製堰の耐震評価結果

評価部位	分類	発生値 (荷重又は発生応力 度)		許容値		判定
鉄筋	引張		kN/本	34.3	kN/本	
	せん断		kN/本	15.1	kN/本	
コンクリート	せん断		N/mm <sup>2</sup>	1.08	N/mm <sup>2</sup>	
	圧縮		N/mm <sup>2</sup>	14.78	N/mm <sup>2</sup>	

第5-2表 鋼製堰の耐震評価結果

評価部位		発生値		許容限界値		検定
梁材	曲げ	$N/mm^2$	235	$N/mm^2$		
	せん断	$N/mm^2$	135	$N/mm^2$		
	合成	$N/mm^2$	235	$N/mm^2$		
柱材	曲げ	$N/mm^2$	235	$N/mm^2$		
	せん断	$N/mm^2$	135	$N/mm^2$		
	合成	$N/mm^2$	235	$N/mm^2$		
アンカー ボルト	引張	N	7664	N		
	せん断	N	2846	N		
	組合せ	-	1	-		
ベースプ レート	曲げ	$N/mm^2$	235	$N/mm^2$		